芍药苷对人恶性黑色素瘤细胞 A375 增殖的体外抑制作用及其机制研究

林春玲1, 赵延明2*

- 1. 武警后勤学院附属医院 皮肤科,天津 300162
- 2. 黑龙江省皮肤病防治研究所 皮肤科, 黑龙江 哈尔滨 150001

摘 要:目的 探讨芍药苷对人恶性黑色素瘤细胞 A375 增殖的体外抑制作用及其作用机制。方法 不同浓度芍药苷(3、 10、30 μmol/L)作用于黑色素瘤细胞 A375, MTT 法检测细胞活力,流式细胞术检测细胞周期情况, Western blotting 法检测 NFκB p65 信号通路激活情况及下游靶分子 Bax、Bcl-2、Cyclin D1、Cyclin E 的表达。结果 与对照组比较,随着给药浓度 的增加,芍药苷对黑色素瘤细胞 A375 抑制作用逐渐增强,30 μmol/L 作用 48 h 时抑制作用最高,并使 A375 细胞周期阻滞 在 G1 期;芍药苷显著抑制 NFκB p65、IκBα 的磷酸化,下调 Bcl-2、Cyclin D1、Cyclin E 的表达,上调 Bax 表达,差异均具 有统计学意义(P<0.01)。结论 芍药苷能抑制人黑色素瘤细胞 A375 体外增殖,可能是通过 NF-κB 信号通路发挥作用的。 关键词: 芍药苷; 人恶性黑色素瘤细胞 A375; 增殖; NF-κB 信号通路

中图分类号: R285.5 文章编号: 1674 - 5515(2015)05 - 0509 - 05 文献标志码: A

DOI:10.7501/j.issn.1674-5515.2015.05.007

Inhibition of paeoniflorin on proliferation of human malignant melanoma cell A375 in vitro and its mechanism

LIN Chun-ling¹, ZHAO Yan-ming²

- 1. Department of Dermatology, Affiliated Hospital of Armed Police Logistics College, Tianjin 300162, China
- 2. Department of Dermatology, Heilongjiang Province Institute of Dermatology, Harbin 150001, China

Abstract: Objective To study inhibitory action of paeoniflorin on human malignant melanoma cell A375 in vitro and explored its mechanism. **Methods** A375 cells were treated with paeoniflorin (3, 10, and 30 μmol/L). The viability of the cell was detected by MTT assay. Cell cycle change was detected by flow cytometry. The activition of NFκB p65 signaling pathway and expression of Bax, Bcl-2, Cyclin D1, and Cyclin E were assessed by Western blotting method. **Results** Compared with control group, paeoniflorin (3, 10, and 30 µmol/L) could reduce cell viability, the inhibitory effect was highest in 48 h at concentration of 30 µmol/L. Moreover, paeoniflorin could make A375 cell arrest in G1 phase. Western blotting assays presented paeoniflorin could suppress the phosphorylation of NFκB p65 and IκBα, down-regulate the expression of Bcl-2, and up-regulate the expression of Bax, Cyclin D1, and Cyclin E with significant differences (P < 0.01). Conclusion Paeoniflorin has inhibitory action on the proliferation of human malignant melanoma cell A375 in vitro, which may be related to NF-κB signal pathway.

Key words: paeoniflorin; human malignant melanoma cell A375; proliferation; NF-κB signal pathway

恶性黑素瘤是一种来源于黑素细胞、高度恶性 的肿瘤,多发生于皮肤,发病率呈逐年上升趋势[1]。 由于黑素瘤本身的高增殖性和微环境血供丰富等特 点,有利于该肿瘤的生长、浸润,对放化疗不敏感, 易产生治疗耐受, 预后差[2]。干扰素 α2b(IFN-α2b)、 白细胞介素-2(IL-2)等黑色素瘤辅助治疗药物的 毒副作用较大,价格昂贵,并且很难与其他方法联 合治疗, 临床化疗效果很差, 因此寻求有效的新型 化疗药物, 为临床治疗黑色素瘤提供实验依据具有 重大意义。赤芍总苷是从毛茛科植物芍药 Paeonia Lactiflora Pall.中提取的有效成分,单独或联合用药 可诱导人黑色素瘤细胞凋亡,与促进 Bcl-2 表达、

收稿日期: 2015-02-06

作者简介: 林春玲(1975一), 女, 黑龙江庆安人, 硕士, 主治医师、讲师, 主要从事皮肤性病学的研究。

Tel: (022)60578698 E-mail: linchunling9578@163.com

^{*}通信作者 赵延明,男,工作于黑龙江省皮肤病防治研究所皮肤科。E-mail: zhaoyanming1280@126.com

抑制 Bax 表达有关^[3]。芍药苷是赤芍总苷中分离出来的主要活性成分之一,具有抗胃癌^[4]、肝癌^[5-6]、黑色素瘤^[7]等多种肿瘤细胞活性。芍药苷对于黑色瘤的抑制作用与 NFκB p65 mRNA 表达有关^[7],因此本实验在此基础上从蛋白水平研究芍药苷是否可通过 NFκB 信号通路对人恶性黑色素瘤细胞 A375 体外增殖具有抑制作用。

1 材料

人恶性黑色素瘤细胞 A375 购于中国科学院细胞库,培养于含 10%胎牛血清的 DMEM 培养基中。芍药苷购自中国食品药品检定研究院,质量分数>98%。

四唑盐试剂(MTT)购于 Sigma 公司;β-actin、BCA 法蛋白定量试剂盒、细胞周期检测试剂盒均购于碧云天生物技术研究所;兔抗 NFκB p65、Bax、Bcl-2 抗体购自 Epitmics 公司;兔抗 IκBα、p-IκBα、Cyclin D1、Cyclin E 抗体均购自 Abcam 公司;胎牛血清、DMEM 培养基、胰蛋白酶购于 Gbico 公司。

2 方法

2.1 MTT 实验

将80%左右融合的细胞 A375 消化,浓度调整为 4×10^3 /mL,接种,37 °C、5% CO₂培养箱中培养 24 h。加入含 5%胎牛血清的 DMEM 培养基,加入芍药苷使终浓度分别为 3、10、30 μ Imol/L,继续培养 48 h,加 MTT (5 μ Img/mL) 20 μ IL,培养 4 h 后,弃上清,加 DMSO 150 μ IL,待结晶充分溶解后,570 nm 处测定吸光度(μ I)值,计算细胞增殖抑制率。

抑制率=A 药物/A 空白

2.2 细胞周期检测

将处于对数生长期的人恶性黑色素瘤细胞 A375 消化,浓度调整为 8×10^3 /mL,接种,37 °C、5% CO₂培养箱中培养 24 h。加入含 5% 胎牛血清的 DMEM 培养基,加入芍药苷使终浓度分别为 3、10、30 μ mol/L,继续培养 48 h,收集细胞。按细胞周期检测试剂盒说明书进行检测。

2.3 Western blotting

收集细胞,裂解并收获蛋白。根据 BCA 试剂 盒对蛋白浓度进行测定。蛋白样品上样,跑 SDS 凝胶电泳,湿法转膜。一抗孵育,4 $^{\circ}$ C过夜;二抗室温孵育 $^{\circ}$ $^{\circ}$ 1~2 h。漂洗,滴加 ECL 曝光液,在凝胶成像系统中曝光。用 Quantity one 软件对各抗体条带灰度值进行统计。

2.4 数据分析

所有数据至少重复 3 次, 并用 $\bar{x} \pm s$ 表示, 两

组之间经 t 检验显著性差异,所有数据均用 SPSS 17.0 统计分析。

3 结果

3.1 对人恶性黑色素瘤细胞 A375 活力的抑制作用

随着给药浓度的增加,芍药苷对黑色素瘤细胞 A375 抑制作用逐渐增强,在 30 μmol/L 时,抑制率 最大;随着 24、48、72 h 给药时间增加,芍药苷对 黑色素瘤细胞 A375 抑制作用也逐渐增强,其中 48、72 h 作用强度一致,所以在后续实验中选取 48 h 作为给药时间。结果见表 1。

表 1 芍药苷对人恶性黑色素瘤细胞 A375 活力的抑制作用 $(\bar{x} \pm s, n=3)$

Table 1 Inhibition of paeoniflorin on activity of human malignant melanoma cell A375 ($\bar{x} \pm s, n=3$)

组别	剂 量/	抑制率/%		
	$(\mu mol \cdot L^{-1})$	24 h	48 h	72 h
对照	0	0.10 ± 0.02	3.01 ± 0.32	3.12 ± 0.54
芍药苷	3	$3.50 \pm 0.30^*$	$34.54 \pm 3.12^{**}$	$34.31 \pm 2.93^{**}$
	10	$16.50 \pm 0.95^{**}$	$53.78 \pm 4.31^{**}$	$53.83 \pm 6.14^{**}$
	30	$30.70 \pm 2.10^{**}$	$65.37 \pm 5.64^{**}$	$65.24 \pm 5.32^{**}$

与对照组比较: *P<0.05 **P<0.01

3.2 对人恶性黑色素瘤细胞 A375 细胞周期影响

给药 48 h,随着芍药苷给药浓度的增加,G1期的细胞明显增多,从(53.19 ± 5.07)%增加到(73.15 ± 7.36)%,差异具有统计学意义(P<0.01);随着给药浓度的增加,S期的细胞明显减少,从(35.34 ± 4.39)%降低到(20.96 ± 2.67)%,差异具有统计学意义(P<0.05)。提示芍药苷使人恶性黑色素瘤细胞 A375 细胞周期停滞在 G1 期。结果见表 2。

表 2 芍药苷对人恶性黑色素瘤细胞 A375 细胞周期影响 $(x \pm s, n=3)$

Table 2 Effect of paeoniflorin on cell cycle in human malignant melanoma cell A375 ($\bar{x} \pm s, n=3$)

组别	给药浓度/ (μmol·L ⁻¹)	G1/%	S/%	G2/%
对照	0	53.19±5.07	35.34±4.39	11.38 ± 2.12
芍药苷	50	$56.73 \pm 5.23^*$	$26.40 \pm 3.12^*$	$16.87 \pm 1.13^{**}$
	100	$64.89 \pm 7.68^{**}$	$22.63 \pm 2.14^*$	$12.48 \pm 1.63^{**}$
	200	$73.15 \pm 7.36^{**}$	$20.96 \pm 2.67^*$	$5.89 \pm 1.01^{**}$

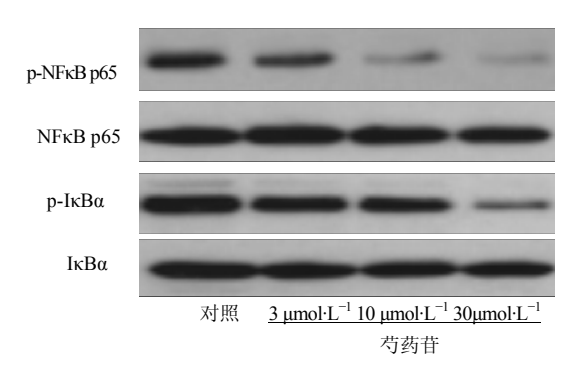
与对照组比较: *P<0.05 **P<0.01

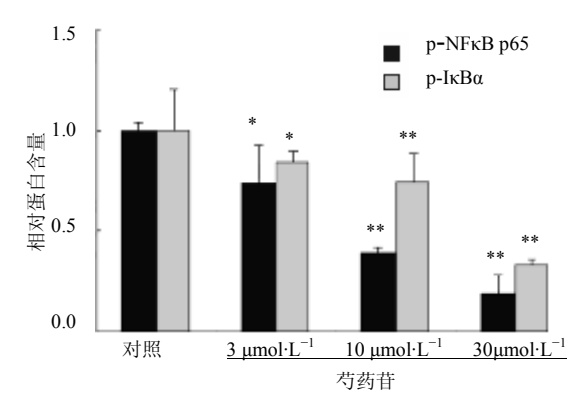
^{*}P < 0.05 **P < 0.01 vs control group

^{*}P < 0.05 **P < 0.01 vs control group

3.3 对人恶性黑色素瘤细胞 A375 细胞 NFκB p65 信号通路的影响

与对照组比较,随着给药浓度的增加,芍药苷 能显著抑制 NFκB p65 和 IκBα 的磷酸化 (磷酸化后 的相应蛋白分别为 p-NF κ B p65、p-I κ B α),差异均 具有统计学意义 (P<0.05)。不管给药与否,皆不 影响 NFκB p65 和 IκBα 自身的表达。结果见图 1。





与对照组比较: *P<0.05 **P<0.01 *P < 0.05 ** $P < 0.01 \ vs \ control \ group$

图 1 芍药苷对人恶性黑色素瘤细胞 A375 细胞 NFkB p65 信号通路的影响

Fig. 1 Effect of paeoniflorin on NFκB p65 signal pathway in human malignant melanoma cell A375

3.4 对人恶性黑色素瘤细胞 A375 细胞凋亡蛋白的影响

与对照组比较,随着给药浓度的增加,芍药苷 能显著抑制 Bcl-2 表达,促进 Bax 蛋白的表达,差 异均具有统计学意义(P<0.01)。结果见图 2。

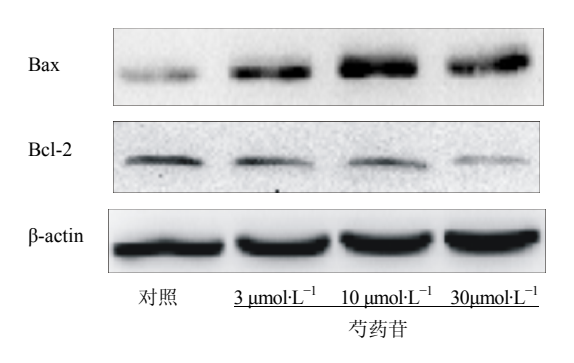
3.5 对人恶性黑色素瘤细胞 A375 细胞周期蛋白的影响

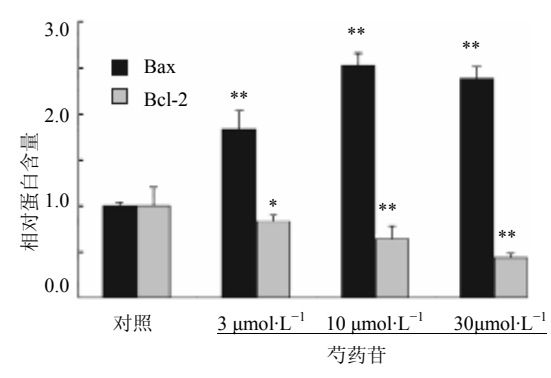
与对照组比较, 3、10、30 μmol/L 芍药苷均能 显著抑制 Cyclin D1 和 Cyclin E 表达,差异均具有 统计学意义 (P<0.01)。结果见图 3。

4 讨论

黑色素瘤是死亡率最高的一种皮肤恶性肿瘤, 80%的皮肤肿瘤死亡都是恶性黑色素瘤,5年生存 率不足 20%。芍药苷具有高效低毒的特点,有抗肝 癌、肺癌活性[3-5]。本实验通过芍药苷作用人恶性黑 色素瘤细胞 A375 48 h 后,发现 3、10、30 µmol/L 芍药苷可显著抑制 A375 细胞活力,与芍药苷对其 他肿瘤细胞抑制作用浓度有稍许差别[4-5],这可能是 各种肿瘤细胞抵抗外环境不同所造成的, 对各种药 物敏感程度不一样所致的。

恶性黑色素瘤是一类以细胞过度生长和无限增 殖为主要特征的疾病,发生的主要原因是细胞周期 调节机制的破坏和促凋亡能力的减弱,此过程受多 种信号通路的调节,NFkB 信号通路就是其中之一^[8]。 静息状态下,NF-кB与其抑制因子 IkB结合成复合 物存在于细胞浆中,没有生物活性,在肿瘤细胞或 其他应激条件刺激下,NF-κB被激活转移到细胞核 内,结合在靶基因启动子的 NF-κB 反应元件处,启 动 Bax、Bcl-2、Cyclin D1、Cyclin E 等相关靶基因 的转录,参与细胞凋亡和细胞周期调控等病理生理 过程^[9-10]。NFκB 在肝癌^[11]、胃癌^[12]、乳腺癌^[13]中 都被激活,过表达。在黑色素瘤中 NFkB 持续被激

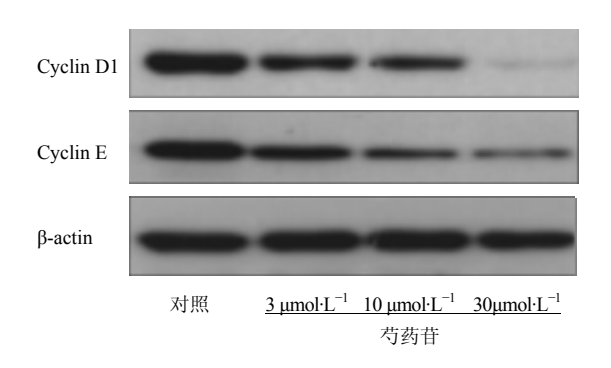


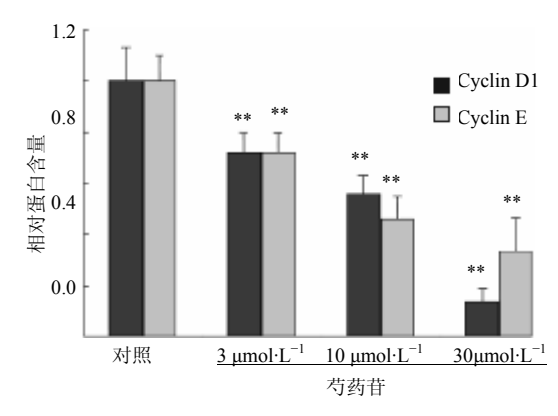


与对照组比较: *P<0.05 **P<0.01 $^*P < 0.05$ $^{**}P < 0.01 \ vs \ control \ group$

图 2 芍药苷对人恶性黑色素瘤细胞 A375 细胞凋亡蛋白的影响

Fig. 2 Effect of paeoniflorin on expression of cell apoptotic protein in human malignant melanoma cell A375





与对照组比较: **P<0.01
***P<0.01 vs control group

图 3 芍药苷对人恶性黑色素瘤细胞 A375 细胞周期蛋白的影响 Fig. 3 Effect of paeoniflorin on expression of cell cycle protein in human malignant melanoma cell A375

活,与恶性肿瘤的发生、发展及预后不良有密切相关^[14]。裸鼠的高转移性黑素瘤的微血管密度检查研究发现,对 NFκB 的抑制可使血管生成减少^[15]。 NFκB 抑制剂 PDTC 可抑制 NFκB 活性,抑制肿瘤细胞增殖^[16]。本实验也发现在黑色瘤细胞 A375 细胞中,NFκB p65、IκBα 磷酸化程度较高,随着芍药苷作用浓度的增加,能逐渐抑制 NFκB p65、IκBα的磷酸化。相关研究也证实芍药对于 A375 的生长抑制作用可能是通过抑制 NFκB p65 mRNA 表达来实现的^[7]。因此推测芍药苷具有抑制人恶性黑色瘤细胞 A375 体外增殖作用,与 NFκB 信号通路有关。

细胞凋亡也称细胞程序化死亡,是一种在基因调控下的自主性细胞死亡方式。凋亡对于肿瘤的治疗具有重要意义,大多数药物都可通过诱导细胞凋亡发挥抗癌作用。其中 Bax 是典型的促凋亡蛋白,Bcl-2 有拮抗促凋亡蛋白的功能,受上游信号刺激,可发生多聚化,进一步发出凋亡信号,引起细胞凋亡。Bax 低表达、Bcl-2 过表达与黑色素瘤的发生发

展密切相关,也是预后不良的标志^[17]。赤芍总苷^[3]、 槐耳水提取物^[18]、狼毒提取物^[19]可上调 Bax 表达, 下调 Bcl-2 表达,促进黑色素瘤细胞凋亡。本实验 研究发现,与对照组比较,芍药苷可剂量相关性地 促进 Bax 表达,抑制 Bcl-2 表达,从而诱导黑色素 瘤细胞凋亡。

大多数抗肿瘤药物可以使细胞周期停滞于 G1 期或 G2/M 期^[20-21]。目前认为,细胞周期进程调控 紊乱是导致肿瘤发生和发展的直接原因。恶性黑色 素瘤细胞的发生常伴随着细胞周期蛋白过度活化, 导致细胞周期失控,细胞不可控制增殖^[22-23]。G1 期相关的最主要的细胞周期素是 Cyclin D1,与肿瘤 细胞的增殖有关系。人肺动脉平滑肌细胞敲除 Cyclin D1 基因后,细胞阻滞在 G1/S 期,细胞增殖 程度明显下降[24]。王晓丽[25]等发现 Cyclin D1 反义 寡核苷酸能显著增加人恶性黑色素瘤细胞 G1 期细 胞数目,降低 S 期细胞数目。Wang^[26]等发现,阻滞 黑色素瘤细胞的 NFκB 通路下调 Cyclin D1 从而使 细胞周期发生阻滞。Cyclin E 是也是细胞周期 G1/S 期转换的关键调节因子, Cyclin E 过表达能缩短 G1 期,使细胞提前进入 S 期,造成细胞无限增殖,肿 瘤形成, 其在包括葡萄膜黑色素细胞瘤中都是过表 达的[27-28]。因此抑制 Cyclin E 的过表达,能显著抑 制肿瘤细胞增殖。本实验研究发现,与对照组比较, 芍药苷可剂量相关性抑制 Cyclin D1、Cyclin E表达, 从而抑制 A375 细胞体外增殖。

综上所述,芍药苷可显著抑制热恶性黑色素瘤细胞 A375 体外增殖能力,是通过上调 Bax 表达,下调 Bcl-2、Cyclin D1、Cyclin E,并使细胞周期阻滞在 G1 期来实现的,与 NFκB 信号通路有关。

参考文献

- [1] Reed J A, Medrano E E. Recent advances in melanoma research [J]. *Front Biosci*, 2006, 11: 3003-3013.
- [2] Rastrelli M, Tropea S, Rossi C R, *et al.* Melanoma: epidemiology, risk factors, pathogenesis, diagnosis and classification [J]. *In Vivo*, 2014, 28(6): 1005-1011.
- [3] 王亚珍, 吕品田, 王凤红, 等. 赤芍总苷对人黑色素瘤 细胞株凋亡诱导的作用机制 [J]. 中国老年学杂志, 2011, 31(23): 4606-4608.
- [4] 晏雪生,李瀚旻,彭亚琴,等. 芍药苷对人肝癌细胞 HepG-2 凋亡及其调控基因的影响 [J]. 中华中医药学 刊, 2007, 25(7): 1346-1347.
- [5] 方申存,戴 伟,吴 昊,等. 芍药苷对人胃癌 SGC7901/VCR 细胞增殖抑制作用及其机制研究 [J].

- 南京医科大学学报: 自然科学版, 2010, 30(5): 636-640.
- [6] Fang S, Zhu W, Zhang Y, et al. Paeoniflorin modulates multidrug resistance of a human gastric cancer cell line via the inhibition of NF-κB activation [J]. Mol Med Rep, 2012, 5(2): 351-356.
- [7] 张建青. 芍药苷对黑素瘤 A375 增殖及 NF-κ-B 影响的 研究 [D]. 汕头: 汕头大学, 2011.
- Watanabe M, Umezawa K, Higashihara M, et al. Combined inhibition of NF-kB and Bcl-2 triggers synergistic reduction of viability and induces apoptosis in melanoma cells [J]. Oncol Res, 2013, 21(4): 173-180.
- Nihal M, Roelke C T, Wood G S. Anti-melanoma effects of vorinostat in combination with polyphenolic antioxidant (-)-epigallocatechin-3-gallate (EGCG) [J]. Pharm Res, 2010, 27(6): 1103-1114.
- [10] Thu Y M, Su Y, Yang J, et al. NF-kB inducing kinase (NIK) modulates melanoma tumorigenesis by regulating expression of pro-survival factors through the β-catenin pathway [J]. Oncogene, 2012, 31(20): 2580-2592.
- [11] Huang X, Oin J, Lu S. Kanglaite stimulates anticancer responses and inhibits HepG2 transplantation-induced tumor growth [J]. Mol Med Rep, 2014, 10(4): 2153-2159.
- [12] Cheng C Y, Hu C C, Yang H J, et al. Inhibitory effects of scutellarein on proliferation of human lung cancer A549 cells through ERK and NFkB mediated by the EGFR pathway [J]. Chin J Physiol, 2014, 57(4): 182-187.
- [13] Zeng L, Zhen Y, Chen Y, et al. Naringin inhibits growth and induces apoptosis by a mechanism dependent on reduced activation of NF-κB/COX-2-caspase-1 pathway in HeLa cervical cancer cells [J]. Int J Oncol, 2014, 45(5): 1929-1936.
- [14] Hu S, Luo Q, Cun B, et al. The pharmacological NF-κΒ inhibitor BAY11-7082 induces cell apoptosis and inhibits the migration of human uveal melanoma cells [J]. Int J Mol Sci, 2012, 13(12): 15653-15667.
- [15] 房东亮. IL-23 对小鼠黑色素瘤血管生成的影响 [D]. 天津: 天津医科大学, 2013.
- [16] Madonna G, Ullman C D, Gentilcore G, et al. NF-kB as potential target in the treatment of melanoma [J]. J Transl Med, 2012, 10: 53.
- [17] Zhang H, Rosdahl I. Expression of oncogenes, tumour

- suppressor, mismatch repair and apoptosis-related genes in primary and metastatic melanoma cells [J]. Int J Oncol, 2001, 19(6): 1149-1153.
- [18] Zhang F, Zhang Z, Liu Z. Effects of Huaier aqueous extract on proliferation and apoptosis in the melanoma cell line A875 [J]. Acta Histochem, 2013, 115(7): 705-711.
- [19] Wang L, Duan H, Wang Y, et al. Inhibitory effects of Lang-du extract on the in vitro and in vivo growth of melanoma cells and its molecular mechanisms of action [J]. Cytotechnology, 2010, 62(4): 357-366.
- [20] Orabi K Y, Abaza M S, El Sayed K A, et al. Selective growth inhibition of human malignant melanoma cells by syringic acid-derived proteasome inhibitors [J]. Cancer Cell Int, 2013, 13(1): 82.
- [21] Bedolla D E, Kenig S, Mitri E, et al. Determination of cell cycle phases in live B16 melanoma cells using IRMS [J]. Analyst, 2013, 138(14): 4015-4021.
- [22] Lee B, Sandhu S, Mcarthur G. Cell cycle control as a promising target in melanoma [J]. Curr Opin Oncol, 2015, 27(2): 141-150.
- [23] Tang H C, Chen C Y. Drug design of cyclin-dependent kinase 2 inhibitor for melanoma from traditional Chinese medicine [J]. Biomed Res Int, 2014: 798742.
- [24] Xiang M, Xu Y J, Liu X S, et al. Cigarette smoke extract promotes human pulmonary artery smooth muscle cells proliferation through protein kinase C alpha-dependent induction of cyclin D1 [J]. Chin Med J (Engl), 2010, 123(24): 3663-3670.
- [25] 王晓丽, 田美丽, 王 梅, 等. Cyclin D₁ 反义寡核苷酸 对人黑色素瘤细胞周期的影响及对细胞增殖抑制作用 的研究 [J]. 西安交通大学学报: 医学版, 2002, 23(4): 342-343.
- [26] Wang J J, Zhang W, Sanderson B J. Altered mRNA expression related to the apoptotic effect of three xanthones on human melanoma SK-MEL-28 cell line [J]. Biomed Res Int, 2013: 715603.
- [27] 张桂珍. CyclinE、p27、p53 在皮肤鳞状细胞癌中的表 达及相关性 [J]. 中国现代医生, 2011, 49(28): 112-113.
- [28] Alekseenko A, Wojas-Pelc A, Lis G J, et al. Expression of cyclins A and E in melanocytic skin lesions and its correlation with some clinicopathologic features [J]. Folia Histochem Cytobiol, 2012, 50(2): 263-269.